

## РАЗБАВЛЕННЫЕ КВАЗИОДНОМЕРНЫЕ АНТИФЕРРОМАГНЕТИКИ

*И.Я.Коренблит, Е.Ф.Шендер*

Показано, что в квазиодномерных антиферромагнетиках даже небольшое количество дефектов, разрывающих магнитные связи вдоль цепочек, существенно влияет на свойства спиновых волн и поперечной восприимчивости. Найдены зависимости восприимчивости и скорости спиновых волн от концентрации дефектов  $x$  в области  $1 \gg x \gg (J_{\perp}/J_{\parallel})^{1/2}$ , где теория возмущений по  $x$  не применима.

Теория трехмерных гайзенберговских антиферромагнетиков с малым количеством обменных дефектов хорошо разработана <sup>1</sup>. Примеси приводят к затуханию спиновых волн и к незначительным, пропорциональным концентрациям  $x$ , перенормировкам их скорости, а также температуры Нееля  $T_N$ .

Иначе должно обстоять дело в квазиодномерных системах, в которых обменное взаимодействие вдоль цепочек  $J_{\parallel}$  значительно больше взаимодействия  $J_{\perp}$  поперек их. Разрывая цепочки, немагнитные дефекты резко уменьшают  $T_N$  (этот эффект наблюдался в сплавах  $K_2Fe_{1-x}Ga_xF_5$ ) и сильно затрудняют распространение спиновых волн даже если концентрация дефектов мала. Мы покажем, что такие дефекты сильно влияют и на поперечную восприимчивость. Пусть для простоты дефектами являются разорванные связи вдоль цепочки <sup>1)</sup>. Гамильтониан двухподрешеточного антиферромагнетика, в котором разорвана связь между спинами  $S_m$  и  $S_n$  имеет вид:

$$\mathcal{H} = \sum_{i,j} J_{ij}(S_{1i}S_{2j}) - \Delta \sum_{ip} (S_{ip}^z)^2 - H \sum_{ip} S_{ip} - J_{\parallel}(S_m S_n), \quad (1)$$

$p = 1, 2$  нумерует подрешетки,  $\Delta > 0$ ,  $H$  – внешнее магнитное поле,  $J_{\parallel}$  – обменная энергия ближайших соседей вдоль цепочки. При низких температурах  $T \ll T_N \sim (J_{\parallel}J_{\perp})^{1/2}$  в низшем порядке по концентрации получаем следующее выражение для поперечной магнитной восприимчивости:

$$\chi(\omega, \mathbf{q}) = 2S^2 [J(0) + 2\Delta - J(\mathbf{q}) - xJ_{\parallel}(1 - \cos q_{\parallel}a) \Lambda^{-1}(\omega)] \times \\ \times [\omega^2 - \omega_q^2 + x \Sigma(\omega, \mathbf{q})]^{-1}. \quad (2)$$

Здесь собственно-энергетическая часть

$$\Sigma(\omega, \mathbf{q}) = 2 \Lambda^{-1}(\omega) J_{\parallel} S^2 (J(0) + 2\Delta - J(\mathbf{q}) \cos q_{\parallel}a), \quad (3)$$

функция

$$\Lambda(\omega) = 1 + 2J_{\parallel} S^2 \sum_{\mathbf{q}} [J(0) + 2\Delta - J(\mathbf{q}) \cos q_{\parallel}a] (\omega^2 - \omega_{\mathbf{q}}^2)^{-1}, \quad (4)$$

$q_{\parallel}$  – компонента импульса вдоль цепочки,  $J(\mathbf{q})$  – фурье-образ обменной энергии  $J(\mathbf{r})$ , спектр спиновых волн идеального кристалла

$$\omega_{\mathbf{q}}^2 = S^2 [(J(0) + \Delta)^2 - J^2(\mathbf{q})]. \quad (5)$$

<sup>1)</sup> Свойства двумерного антиферромагнетика с разорванными связями рассматривались в <sup>3</sup>.

При  $\omega \ll S/J_{\perp}(0)J_{\parallel}(0)$  частоту в правой части (4) можно положить равной нулю. Если  $\Delta = 0$ , то имеем:

$$\Lambda(0) = \alpha(J_{\perp}(0)/8J_{\parallel}(0))^{1/2} \ll 1, \quad \alpha = \sum_{\mathbf{q}_{\perp}} [1 - \frac{J_{\perp}(\mathbf{q})}{J_{\perp}(0)}]^{1/2} \approx 1. \quad (6)$$

В результате для поправки к скорости  $c(\varphi)$  спиновых волн, распространяющихся под углом  $\varphi$  к оси цепочки, получаем:

$$c_0(\varphi) - c(\varphi) = \alpha^{-1} \left( \frac{8J_{\parallel}(0)}{J_{\perp}(0)} \right)^{1/2} (c_{0\parallel} \cos^2 \varphi + \frac{1}{2} c_{0\perp} \sin^2 \varphi) \quad (7)$$

$c_0(\varphi)$  — скорость в идеальном кристалле,  $c_{0\parallel} = c_0(0) \sim J_{\parallel}$ ,  $c_{0\perp} = c_0(\pi/2) \sim (J_{\parallel}J_{\perp})^{1/2}$ . Видно, что параметром теории возмущения является  $x/J_{\parallel}J_{\perp}^{1/2}$ , т.е. спектр сильно модифицируется даже при малых  $x$ , если  $x \gtrsim x_0 = (J_{\perp}/J_{\parallel})^{1/2}$ .

Затухание спиновых волн

$$\gamma(\omega, \mathbf{q}) = \frac{x}{2\omega_{\mathbf{q}}} \text{Im} \Sigma(\omega, \mathbf{q}) \approx \frac{\omega^3}{J_{\perp}^2 J_{\parallel}} \frac{c_{0\parallel}^2 q_{\parallel}^2 + c_{0\perp}^2 q_{\perp}^2}{\omega(\mathbf{q})}. \quad (8)$$

При  $\omega \ll S/(J_{\parallel}J_{\perp})^{1/2}$  и  $x < (J_{\perp}/J_{\parallel})^{1/2}$ , когда это выражение справедливо, затухание  $\gamma(\omega, \mathbf{q}) \ll \omega_{\mathbf{q}}$ . Из (2)–(6) следует, что однородная восприимчивость

$$\chi = \frac{1}{J_{\parallel}(0)} \left( 1 + \frac{2^{1/2} x}{x_0} \right). \quad (9)$$

Если  $\omega \gtrsim S/(J_{\parallel}J_{\perp})^{1/2} \approx \omega_{\max}(\mathbf{q}_{\perp})$ , то  $\Lambda(\omega) = i\omega/4J_{\parallel}(0)$ , и частота спиновых волн

$$\omega = \omega(q_{\parallel}) + i2xJ_{\parallel}(0). \quad (10)$$

Когда длина волны возбуждений  $\lambda \approx q_{\parallel}^{-1}$  меньше средней длины сегмента  $x^{-1}$ , затухание мало, т.е. внутри сегмента существуют хорошо определенные спиновые возбуждения.

Если  $\Delta \neq 0$ , но  $\Delta \ll J_{\perp}$ , то дефекты приводят к уменьшению щели  $\omega_0$  в спектре на величину  $\approx \omega_0(x/x_0)$ . Наиболее существенное влияние анизотропии состоит в том, что затухание при малых  $q$  становится большим:

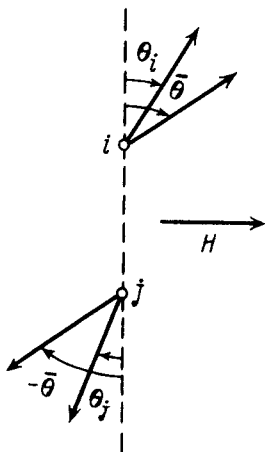
$$\frac{\text{Im} \omega}{\omega - \omega_0} \approx x \left( \frac{\omega_0}{\omega - \omega_0} \right)^{1/2} \frac{\Delta^{3/2}}{J_{\perp} J_{\parallel}^{1/2}}, \quad (11)$$

т.е. гидродинамическое описание спиновых волн нарушается при частотах  $\omega$ , близких к  $\omega_0$ . Этот результат не зависит от соотношения между  $J_{\parallel}$  и  $J_{\perp}$ . Он связан с тем, что при  $\Delta \neq 0$  уравнения движения для поперечных компонент спина не имеют решений, соответствующих однородному повороту спинов подрешеток.

Перейдем к рассмотрению области концентраций  $1 \gg x \gg x_0$ , в которой теория возмущений неприменима. Разорванные связи разбивают цепочки на сегменты, содержащие четное или нечетное число спинов. Будем считать, что вдоль цепочки взаимодействуют только ближайшие соседи, а взаимодействие между цепочками учтем в приближении молекулярного поля. Магнитной анизотропией пренебрегаем. Тогда энергия сегмента, содержащего  $n$  спинов, может быть записана в виде:

$$E = -J_{\parallel} S^2 \sum_{i, j=i \pm 1} \cos(\theta_i + \theta_j) - S^2 J_{\perp}(0) \sum_i \cos(\theta_i + \theta) - HS \sum_i \sin \theta_i \quad (12)$$

$\theta_i$  — определяет направление спина  $i$ ,  $\theta$  — определяет среднее направление спинов в подрешетке (см. рис.).



Ориентация спинов  $S_{1i}$  и  $S_{2j}$ , принадлежащих одному сегменту,  $\theta_i > 0$ ,  $\theta_j < 0$ .  $H$  — внешнее магнитное поле.  $\bar{\theta}$  определяет ориентацию магнитного момента подрешетки

Минимизируя  $E$  по углам  $\theta_i$ , получим при  $H/J_{\parallel} \ll 1$ , когда все углы малы, систему уравнений для определения  $\theta_i$ :

$$\theta_1 + \theta_2 + h\theta_1 = \tilde{H}, \quad \theta_n + \theta_{n-1} + h\theta_n = \tilde{H} \quad 2\theta_i + \theta_{i+1} + h\theta_i = H, \quad i = 2, 3, \dots, n-1 \quad (13)$$

где  $h = J_{\perp}(0)/J_{\parallel}$ ,  $\tilde{H} = H/J_{\parallel} - h\theta$ .

Решая эти уравнения, получаем:

$$\theta_1 = \theta_n = \tilde{H}/hn, \quad n = 2k + 1 \quad k - \text{целое число} \quad \theta_i = 0 \quad n = 2k. \quad (14)$$

Усредняя  $\theta_1$  с функцией распределения ближайшего соседа  $P(x) = \chi \exp(-nx)$ , находим  $\theta = (\chi H/J_{\perp}(0)S) \ln x^{-1}$ , так что восприимчивость в расчете на спин

$$\chi = \frac{xS}{H} \sum_{i=1}^n \theta_i = J_{\perp}^{-1}(0) x^2 \ln x^{-1}. \quad (15)$$

Скорости спиновых волн могут быть получены с помощью соотношения Хариса — Киркпатрика<sup>4</sup>:

$$c_{\parallel, \perp} \sim (\sigma_{\parallel, \perp} / \chi)^{1/2}, \quad (16)$$

где  $\sigma_{\parallel, \perp}$  — проводимости сетки сопротивления с электропроводностями  $J_{ij}$  между узлами  $i$  и  $j$ . Согласно<sup>5, 6</sup> в квазиодномерном проводнике  $\sigma_{\parallel} \sim J_{\perp}/x^2$ ,  $\sigma_{\perp} \sim J_{\parallel}$ . Следовательно

$$c_{\parallel} \sim \frac{J_{\perp}(0)}{x^2} \left(\ln \frac{1}{x}\right)^{-1/2}, \quad c_{\perp} \sim \frac{J_{\parallel}}{x} \left(\ln \frac{1}{x}\right)^{-1/2}. \quad (17)$$

С ростом  $x$  спектр изотронизуется.

Мы не учитывали взаимодействия соседей, следующих за ближайшими, вдоль цепочки. Можно показать, что это справедливо, если соответствующее взаимодействие  $J' \ll (J_{\perp} J_{\parallel})^{1/2}$ .

#### Литература

- Chadwick J. J. Phys., Conden. Matter, 1989, 1, 6731.*  
*Aristov D.N., Maleyev S. V. Preprint LNPI-1587.*  
*Harris A.B., Kirkpatrick S. Phys. Rev. B, 1977, 16, 542.*  
*Балагуров Б.Я. ЖЭТФ, 1982, 82, 2053.*  
*Пригодин В.Н., Самухин А.Н. ФТТ, 1984, 26, 1344.*

Институт ядерной физики им. Б.П.Константинова  
Академии наук СССР

Поступила в редакцию  
12 июля 1990 г.